

4. charakteristiky:

[Focus] vlastnosti

- hvězdy a "hvězdoklín/meteoroid" \rightarrow teploty
 luminosity (výkonnost) $\approx 10^{28} \text{ W}$ (10²⁸ K) } H-R diagram [Bok] až méně kouříčka?
 konstanta, věk $\approx 10^9$ let, základní číslo vzdálosti \approx jak je určit?

4.1. vzdálost

- triangulační, zde MFT, lidé bere \Rightarrow planety, asteroidy (Venuše, Merkur)

$$\text{3. KZ: } \frac{d^2}{T_p^2} = \frac{GM_{\odot}(M_p + m_p)}{4\pi^2} \Rightarrow \text{vzdálenost } \neq \text{ čas,} \\ \text{pokud máme jistou konstantu } \Rightarrow \text{vzdálenost } \text{konstanta}$$

$\int \frac{dm}{ds} \text{ přechody přes 0 komety } \Rightarrow$
 $\approx 0,15 \text{ AU min.}$

METODA
výpočtu
vzdálosti

?

- radarského ohrazení (od r. 1964) \rightarrow emit se vysokofrekvenčně (1 GHz) informace o hodnotě
 měřené času $\Rightarrow T_{\text{RF}} = (499,004782 \pm 0,000006) s$, (High time for unit distance)

- malé slunečky \Rightarrow MFT dle nové AU \times rok 1996 (jinak jako konstanta):

$$\frac{d^2 \frac{ds}{dt}}{T_p^2} = k^2 (4\pi B m)_{\text{MFT}}; \quad k \dots \text{Gaussova gravitační konstanta} = 0,09920209995$$

pro def. S vysoké AU = (149 599 870 km) \approx

pokud dle dřívějších tabulk, $m = M_{\odot} + M_p \Rightarrow a = 1,000 000 000$ (tj. via MFT + AU!)

$$\text{pokud } a = 10^9 \Rightarrow q = a(1-e), \quad e = (a(1-e)) \Rightarrow \text{doporučuje se } \text{dle vzdálenosti } 910 \text{ až } 934 \text{ km.}$$

ještě doufám ...
 viz tento žádost
 a T. Vojáček

induktivní by to
 bylo pro kouření
 případ!

4.2. hmotnost

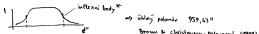
hmotné rámcové funkce $GM_{\odot} = (132 172 43809) 10^{12} \text{ m}^3 \text{ s}^{-2}$ \Rightarrow z enthalpie dat

hmotnostní model "G" $G = (6,67159 \pm 0,00015) \cdot 10^{11} \text{ N}^2 \text{ kg}^{-2} \text{ m}^2$ \rightarrow tato vzdálost od vzdálenosti

$$\Rightarrow m_p = (1,989 \pm 0,0005) \cdot 10^{20} \text{ kg} \dots \text{ současná hodnota, ale jinak zhruba konstanta } m_p = \frac{L_p}{C_p} \approx 4 \cdot 10^{18} \text{ kg/s} \quad \text{a většinou } \approx 10^9 \text{ kg/s} \quad (\text{obvykle závislosti})$$

4.3. poloměr

- inflexní profil



statistické chyby $\approx 0,01^\circ$, ALE však mohou se MFT až o 0,1° \rightarrow SYSTEMATICKÁ CHYBA

$$r_0 = (6,940 \pm 0,001) \cdot 10^8 \text{ m}$$

* inflexní body odpovídají $T \approx 0,004$, ALE kvůli možnosti pro model nitra (kde $T = T_{\text{RF}}$) se kladou na $T = \frac{3}{4}$
 → vzdálost od soustavy $r_{\odot-23} = 6,957 \cdot 10^8 \text{ m}$ (polovina) to vzdálosti (mimožemšťanského světa)

- také to znamená na 2% to vzdálost 0,1%

- dle výpočtových modelů by měla mít poloměr méně $r_0 \approx 2,4 \text{ cm/sr}$

- kritizované verze jsou hyperbolické

$$\bar{\rho} = 1,908 \text{ g/cm}^3; \quad g_0 = \frac{GM_{\odot}}{r_0^2} = 234 \text{ m/s}^2 \quad (\text{co struktura a struktur})$$

4.4 Luminosita

+ měření \odot luminosity

$$S = \frac{L_{\odot}}{4\pi R_{\odot}^2}$$

(intenzita ve střední vzdálosti)

[OBR] slunce + atmosféra \Rightarrow prakticky na héliových, nukleárních, sondách (SRK, synchrotron?)[OBR] SLL pro různé přístroje: Solar Maximum Mission 1367 W/m²ERB experiment \Rightarrow NMISUS 3 1392

Earth Radiation Budget Satellite 1365

? což je tedy velká systématická chyba (i když mělyt měřit + experiment je měřením měřit)

(vzdálenost, že různé metody poskytují různé systématické chyby)

$$S = (1367 \pm 3) \frac{W}{m^2}$$

$$L_{\odot} = (3,844 \pm 0,010) \cdot 10^{26} \text{ W} \quad \Rightarrow \text{střední heliosférická } \odot \text{ velikost } \odot \quad M_{\odot} = +4,74 \text{ mag}$$

příjemnou frekvenci mezi $m_1, m_2 = -2,5 \log \frac{\Phi_2}{\Phi_1}$

+ variabilita S za různých číselcích:1) výš. L_{\odot} od SAMS ($92\% L_{\odot, \text{obs}}$)2) relativní změny $0,2\%$ ze vzdálostí (\odot shrnuje)3) 45°S za různého měsíce (asymetrie!)4) 0,09% během 11 letového cyklu \Rightarrow ve fází se skvrnami!
(zvídavý faktor, že když trvá na různém magnetickém zdroji)+ definice efektivní teploty (když je řešení správné?)

$$L_{\odot} = 4\pi R_{\odot}^2 \sigma T_{\text{eff}}^4$$

$$\Rightarrow \sigma = 5,69551 \cdot 10^{-8} \text{ W m}^{-2} \text{ K}^4 \text{ Stefan-Boltzmann}$$

$$T_{\text{eff}} = (5778 \pm 3) \text{ K} \quad \leftarrow \text{důležitý parametr } \odot \text{ atmosféry (stav s g)}$$

4.5 Spektroskopie

+ spektrální rozložení

ad intenzitu (počítání) se řekl faktor: $R_{\odot}^2 F(\lambda) \Delta \lambda = \text{AU}^2 S(\lambda)$

4.5.1 fáz versus intenzita

fázové základní rozložení

$$F(\lambda) = \int \int I(\lambda, \varphi) d\varphi \quad = \int \int I(\lambda, \varphi) \cos \varphi d\varphi$$

$$I(\lambda, \varphi) \approx I_{\lambda}(\varphi)$$

$$dE = I(\lambda, \varphi, \lambda) \frac{d\lambda}{\lambda} \frac{d\varphi}{\cos \varphi} \frac{1}{\sin \varphi} \frac{1}{4\pi} d\Omega d\lambda d\varphi$$

$$\text{Intenzita vlnoviny přes vzdálový disk } \odot: \quad I(\lambda) = \int \int I(\lambda, \varphi) \mu d\varphi = 2 I(\lambda, \varphi) \int_0^{\pi} \frac{1}{\sin \varphi} d\varphi$$

a) měřit se přímo $I(\lambda)$ – světlo z celého slunce.b) centrální intenzita $I(1, \lambda)$ \Rightarrow okrajové základní $\frac{I(1, \lambda)}{I(1, \lambda)} \leftarrow$ b) relativní měření!

4.5.2 vzdálová síla

[OBR] + vzdálové základní

optika o aktivaci – měření I pro různé pozitivní vzdálosti (vzdálení kamer) k extrému k 0 vzdálové síly ($T_{\text{eff}} = 5778 \text{ K}$), ale jen přibližně – a) okrajové základníb) spektrální čárky (H_{α}, \dots) Na základě C, K od vzdálení, čárky $\frac{C}{K}$ Intenzita (Lata & Heckel 1961) – měřily 0,2%, systématická chyba 0,5%
vzdálení minima 0

$$\text{Principiál z 1: } B_2 = \frac{2hc^3}{\lambda^5} \frac{1}{e^{\frac{hc}{kT}} - 1} \approx \frac{2hc^3}{\lambda^5} \frac{1}{e^{\frac{hc}{kT}} - 1} \approx \frac{2hcT}{\lambda^4} \quad \text{Rozdílnost} =$$

pro IR může být srovnatelná

4.5.3 Infráčervené oblast

R = 2. approximace přeměny [ORL] ⑦ různé jasné teploty
 ~ 94% energie emitované v infra → příměje na log-log grafu
 absorpcia H₂O (technické čísla) střední měření → chyba 1%

4.5.4 Rádiové spektrum (λ > 1 mm)

použití se I₀, měří I_λ [ORL]

- stezky: a) formální, kladné číslo, ale přechod T_B = 40°K → 40°K málo 2 = 1 cm × fm
 b) S-komponenta, pomalu se mení, horizontálně ± 11 letový cyklus, stezky málo až
 c) rychlejší až záblesky (4s - 4dm), rychlo srovnatelné až) Lα emise na 10,7 cm (jako index
 chyba ~ 10%, horizontálně)

4.5.5 UV

do 240 nm absorpcní číry (MgI)

při maxu 200-250 nm (Cianochlor Al)

při 150 nm emisní číry (Ly_a 121,6 nm)

[ORL] ⑦ kde je horizontální výška?

intenzita

- kratší λ = variabilní: a) 25% během synodicke roční periody Časové změny
 b) faktor 2 během 11-letového cyklu nekonvenční roční periody
 absoptce atmosférickým O₂ ⇒ rychlost, stezky, chyba = 4% krátké standardum

4.5.6 EUV a X-ray (λ < 120 nm)

vysoká proměnlivost, emisní číry neutralních atomů a iontů (z Fe XVI), 2000 K až 4.900 K, [ORL] z MSC

přechodový charakter

4.5.7 horizontální indexy

→ horizontální s průměrem

$$\text{B-P} = -2,5 \cdot \log \frac{\int S(\lambda) E_0(\lambda) d\lambda}{\int S(\lambda) E_0(\lambda) d\lambda} + C_{B-P} = 0,495 \text{ mag} \pm 0,005 \quad (\text{pm } 0)$$

podle: B-V = ... = 0,650 mag

$$\text{pm } B-V = 0,650 \text{ mag}$$

$$\textcircled{2} \text{ Rydbergova formula: } \frac{1}{\lambda_{max}} = R_H \left(\frac{1}{n_1^2} - \frac{1}{n_2^2} \right) \quad \text{stezky: } \text{E} = \frac{R_H \cdot hc}{\lambda^2}$$

	n ₁	n ₂	horizontální	čí.	oblast
Lyman	1	2 → ∞	91,3 nm	421	UV
Balmer			364,5 nm	486	V
Paschen			500,7 nm	4875	IR

→ dostatí spektrum dla Paschen?

Jak využít informaci, nového objevit? Mnoho na?

Dopadl do Afghánistánu (ORL) → skrz (metál), typ. 2,3,3

3. Příprava pro pozorování 0

f otáčka na 0

45.000

Rozloha \rightarrow plocha na 0Problém s fókou: $f_0 = 0,3^{\circ} \times 0,7^{\circ} + (450 \cdot \frac{0,3^{\circ}}{300} \cdot \frac{300}{100})^2 \approx 1,2 \cdot 10^{-3} \text{ rad} \approx 5 \cdot 10^{-3} \text{ rad}$

$\text{fókální } d = 45 \cdot 10^{-3} \text{ m} \quad 0,3^{\circ} \approx 10^{-3} \text{ rad}$

$I_0 = 3 \text{ W cm}^{-2} \text{ ster}^{-1} \text{ nm}^{-1} \quad (\text{průměrná intenzita}) \approx 3 \cdot 10^3 \text{ W cm}^{-2} \text{ ster}^{-1} \text{ nm}^{-1} \quad (1 \cdot 10^3)^2 \approx 10^6$

$D_{\text{objektu}} = 40 \text{ cm}, (n=1.02 \text{ nebo } n=1)$

$L_{\text{optiky}} = 1 \text{ m} \quad (\text{vzdálenost})$

$\text{propojeník } 40 \text{ m}\AA \text{ na } \lambda = 5000 \text{ }\text{\AA} \Rightarrow d\lambda = 10^3 \text{ nm}, E_p = hf = \frac{hc}{\lambda} = \frac{6 \cdot 10^{19} \cdot 3 \cdot 10^8}{5 \cdot 10^3} \text{ J} =$

$\eta_{\text{elektron+spalinový+detektor}} = 1\% \quad (\text{pozor! viz Fig 3.19.}) \quad \approx 3 \cdot 10^{-12} \text{ J}$

Rozloha záhlaví

$$\Delta u = \frac{\pi R_{\text{aperture}}}{(4 \text{ Au})^2} = \frac{3,4 \cdot 30^2}{(3,3 \cdot 10^{-3})^2} \approx 1,5 \cdot 10^{-10} \text{ rad}$$

$E = \eta \cdot I_0 \cdot 45 \text{ cm}^2 \cdot \Delta u \cdot d\lambda \cdot hf = 10^3 \cdot 3 \cdot 10^3 \cdot 5 \cdot 10^{12} \cdot 6 \cdot 10^{19} \cdot 10^3 \cdot 10^3 = 2,2 \cdot 10^{-16} \text{ J}$

$E/E_p \gtrsim 4000 \text{ fotonů (málo!) } \Rightarrow \text{SNR} \approx 30 \quad (\text{fotonový šum}) \leftarrow \text{ve skutečnosti je lepší}$

\hookrightarrow může být i horší: pozorování ve slunci $I_0 = 0,3 \dots 1,0$, částečná polárizace na povrchu $\sim 40\%$

Rozloučení: a) větší apertura: Meade 16 inch Telescope @ 150, Kitt Peak @ 452 m [OPT]

in planning ATST @ 4km

b) maximální účinnost detektora: CCD 75-100%, fotoelektrické 5-25%, emitor 10%

c) mimo atmosféru: CMC 1-9, ATM@ Skalnaté, SHM, Speculo 2, Ulysses, Rosetta, SOHO, TRACE

3.4.2. Seeing = 2. rozdělení, popis

 \rightarrow rozloha je rozdělenave vzdálostech ≈ 10 až ≈ 30 cm= degradace obrazu pozorovaným η , \rightarrow vzdálenost \rightarrow různé způsobování kružnice! obrovské tvarování, bulging, záhlaví= množství vlnových vrstev vzdálených \approx vzdálenost Rayleighova čísla \rightarrow turbulentní "pouliční" (do Norimbersko-Šlesvických hor) (do Norimbersko-Šlesvických hor)

$\eta = 1 - \frac{2,39 \cdot 10^{-4}}{T/T_c} \frac{P/P_c}{T_c/T_s} ; P_c = 1 \text{ mJy}, T_c = 273 \text{ K} \quad \text{Hloubka } \approx \text{výška } \rightarrow \text{představuje fluktuace teploty}$

efekty: a) blurring a rozrzednutí

b) storage motion a polohového posunu (astrofotografie)

c) image distortion = zkreslení obrazu

\rightarrow frekvence $\approx 100 \text{ Hz} \rightarrow \text{temp} < 10^{-3} \text{ s}$ může způsobit výrazné zkreslení

+ PSF a MTF

fotoměřík

$I(x,y) = \iint_{-\infty}^{\infty} I_0(q_x, q_y) \text{PSF}(x,y, q_x, q_y) dq_x dq_y \quad \dots \text{f. intenzita} \quad (\text{spodní limita})$

$I = I_0 * \text{PSF}$

\uparrow
intenzita fotoměříku
 \uparrow
ideální (matematické)
obraz

1. zkreslení: PSF vzdálený pouze od q_x, q_y (zlepší rozrzednutí η)pok je vzdálený pouze od Fourierova transformaci, do konkrétního horizontu ($F = F_0 \cdot S$)

$S(\vec{q}) = \iint_{-\infty}^{\infty} \text{PSF}(x,y) \exp[-2\pi i(q_x x + q_y y)] dx dy \dots \text{fotoměřík f.}$

fotoměřík
q... posun
fotoměřík

$\text{MTF}(\vec{q}) = |S(\vec{q})| \quad \dots \text{modulation transfer function} \rightarrow \text{maximální MTF}$

$$\text{MTF}_{\text{holo}} = \text{MTF}_{\text{hologram}} \cdot \text{MTF}_{\text{optický}}$$

ZDROJ: graf v Gaussovi

2. zjednodušení: rotacionálně symetrické PSF (x,y) = PSF(r); $r = \sqrt{x^2 + y^2}$, pak

(OBR) náleží
MTF

$$\text{MTF}(q) = 2\pi \int_0^\infty r \cdot \text{PSF}(r) J_0(2\pi qr) dr; q = \sqrt{x^2 + y^2}, J_0 \dots \text{Besselova funkce 0. řádu 0.}$$

?) dělá?

↳ 4. Fourier transformace

+ diffraction-limited telescope (fizek, bez setingu)

difuse na O aperturě $\Rightarrow \text{PSF}_p(r) = \frac{1}{\pi} [J_0(\frac{2\pi}{\lambda f} r) / r]^2$

(Airyho obraz)

(OBR) fizek fuz.

první mula ($\text{PSF}_p=0$) je na $r_A = \frac{\lambda f}{4}$

D ... apertura
f ... ohnisko (charakter frekvence!)

! \Rightarrow Dohle $\frac{r_A}{f} = \frac{\lambda}{4f} = \frac{1,22 \lambda}{D}$... „málohmá dalekohled“

odpovídající $\text{MTF}_p(q) = \frac{2}{\pi} \left[\arccos \frac{q}{q_m} - \frac{q}{q_m} \sqrt{1 - \left(\frac{q}{q_m} \right)^2} \right]$; $q_m = \frac{\lambda}{\pi D}$

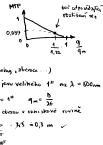
(OBR) fizek fuz.

?) frekvence $q > q_m$ mají v dalekohledu převratné (MTF_p = 0)!

dohle D

právě: grafem

právě: grafem s kontrastem 55% pravděpodobně nejdále v dalekohledu

(poda kritériu Δx_0 by ji měl mít)! \Rightarrow contrast $55\% \cdot 0,8394 \approx 45\%$, tedy užam úplně!

právě: jeho aperturu můžeme zvětšit, aby bylo plně 60% kontrastu jen vzdálenosti t^* než $\lambda = 500\text{nm}$

$$\text{MTF} = 0,6 \Rightarrow \frac{q}{q_m} = 0,7 \quad (\text{dle obr. 3.4}) \quad q = \frac{\lambda}{\pi D} \quad \omega = \frac{\lambda}{f} = t^* \quad q_m = \frac{\lambda}{\pi D}$$

$$\Rightarrow q = \frac{\lambda}{\pi D} = \frac{\lambda}{q_m} = \frac{\lambda}{\pi f} \frac{D}{\lambda} = \frac{D}{\pi f} \Rightarrow D = \frac{\pi f}{\lambda} \quad \text{vzdálenost obrazu} = \text{vzdálenost vzdálenost} \\ \frac{\pi f^2}{\lambda^2} = 3,15 \approx 0,3 \text{ m}$$

+ seting při holo expozici ($\geq t_0$)

\Rightarrow PSF doba správného Gaussova fuz.

$$\text{PSF}_s(r) = \frac{1}{2\pi \sigma_s^2} \exp\left(-\frac{r^2}{2\sigma_s^2}\right)$$

(OBR) PSF

(koncentrace)

↳ ② je možnost setingu!

- Fourierova transformace G. je G.: $\text{MTF}_s(q) = \exp(-2\pi^2(q^2))$

$$\text{S}_s = 1^2 \left(\frac{1}{q^2} \right) \cdot t_{\text{expos}} \quad \text{je doby setingu}$$

- celkový přenosový faktor $\text{MTF} = \text{MTF}_p \cdot \text{MTF}_s$

(OBR) MTF

pro dalekohled $D \pm 20\text{cm}$... diffraction limited

$D \pm 50\text{cm}$... seting limited (možnost počítat pouze vzdálenost, ale vzdálenost se může lišit)

!) = 10⁵ parametr pro počítat setingu: Fresnelov parametr r_0 ... apertura imaginárního difrac. dalekohledu, který by měl stejnou možnost jako vzdálenost vzdálenost vzdálenost setingu

+ turbulencie ve vodách spojuje Kolmogorovovy zákony:

$$\langle [n(\vec{x}) - n(\vec{x} + \vec{\delta})]^2 \rangle = C_n^2(h) \delta^{5/3} \quad h \rightarrow \text{výška}, \vec{\delta} \dots \text{malé změny polohy}$$

+ strukturní závislost
index formy s polohou strukturní index konstant
index formy

Jde Riddler (1991) je také možné vypočítat průměrnou funkci:

$$B(\vec{y}) = \exp \left(-1,455 \delta^2 \delta^{5/3} \int C_n^2(h) \frac{dh}{\cos z} \right)$$

\uparrow
 $\text{Průměr } \delta \cos z = \frac{2}{3}$

pokud Friedlařov parametr je charakteristický rázem této exponenciace:

$$r_s = \left(0,423 \delta^2 \int C_n^2(h) \frac{dh}{\cos z} \right)^{-3/5}$$

Lze tedy vypočítat vzdálenost se značeným dle kolmici

3.4.3 Seizing - počítání

↓ nezávislost na budev.

Stejně také: všechny 5-15 m/s je nejlepší (dla vlastností vody je libovolná)

první měření fluktuaci T_A až Friedlařov parametr r_s (platí pro výšky)

radiosoudružství

Lze pro klasifikaci $r_s \in (20,50)$ cm

at:

DIMM = Differential Image Motion Monitor - **DIMM** class

REF: Dimmick et al. (1999)

Wood et al. (1995)

barevná budovu = barevná TDO (zelená nebo žlutá) barevná VETC (spojitost turbulencie na obloze)

turbulence \Rightarrow všechny obdobnosti, M. Valoušk. Pouze až 50 m (Hec et al. 1991)

\Rightarrow chladný vodor, Big Bear @ Okanagan

REF: Dimmick et al. (1999)

Wood et al. (1995)

at: 

rotating vodou v rámci rotace, může se mít různá

veličina vodou v rámci rotace, může se mít různá

orientační struktura, barevná budova, může jít o větrání, barevná

charakteristika dle kolmici + barevná intenzita turbulencie, závislá především na vzdálosti

POZOR! je toto Hultimo class, může mít významné různé vlastnosti, ↓ SST je stejný, ↓ výška dle kolmice

Lze mít i větší hmotu $m = 4,000,000$ až hmotnost $= 4,000,293$

* metoda spectral-ratio

(Liu et al. 1991) → může být výhodný exponenciální teleskop (pozemský)

pozad je zároveň → Fourierova transformace vlnového spektra: $F_0(k) = F_0(k) S_0(k)$

že $S(k)$ je dán

spektrální poměr je $E(k) = \frac{|F_0(k)|^2}{|F_0(k)|^2} = \frac{|S_0(k)|^2}{|S(k)|^2}$

frekvenční rozsah

rozdělení je rovnoměrné → $E(k) = \frac{1}{N} \sum_{k=1}^N E(k)$

pozad je významný

rozdělení je rovnoměrné → $E(k) = \frac{1}{N} \sum_{k=1}^N E(k)$

pozad je významný

rozdělení je rovnoměrné → $E(k) = \frac{1}{N} \sum_{k=1}^N E(k)$

pozad je významný

rozdělení je rovnoměrné → $E(k) = \frac{1}{N} \sum_{k=1}^N E(k)$

pozad je významný

rozdělení je rovnoměrné → $E(k) = \frac{1}{N} \sum_{k=1}^N E(k)$

pozad je významný

rozdělení je rovnoměrné → $E(k) = \frac{1}{N} \sum_{k=1}^N E(k)$

pozad je významný

rozdělení je rovnoměrné → $E(k) = \frac{1}{N} \sum_{k=1}^N E(k)$

pozad je významný

rozdělení je rovnoměrné → $E(k) = \frac{1}{N} \sum_{k=1}^N E(k)$

* metoda Seizing monitor (Brown 1976)

→ charakteristika barevného profilu \propto $\cos^2 \left(\frac{\pi k}{2 \pi r} \right)$

≈ spektrální generátor

→ barevná závislost této klasifikace \equiv vlastnosti \rightarrow je toto vlastnosti od A, pravotočivého barevného

profilu může mít významnou vlastnost, když vzdálenost $r \approx \infty$

profili může mít významnou vlastnost, když vzdálenost $r \approx \infty$



REF?

3.1.4. Adiplomní optika [ORR]

- mimořádně vysoké fázové moduly kompozitor - slouží když jež je fotodioda
 - aktivátor (photocellulinky)
 - impulsový odraz $\sim 5^\circ$ ve V, 45° ve IR (bez diskuse)
- korelační detektor - funguje i bez kohärenčního zdroje, možné se mít korelační funkce v různých vlnách
- vnitřní opory difrakce \Rightarrow modulace na $\left(\frac{D}{f_0}\right)^2$ subpixel, které jsou impulsové
 - frame selection, vzdály srovnat s maximálním zdrojem, rozložením ohniv (kteréli kritickým parametrem)

3.1.5. Rekonstrukce ohniva

[ORR]

- + speckle interferometrie (distanční) - dle speckle rozložení při kohärenčním napojení do 50 m

Liljebror (1990) : $|F_0(\vec{q})|^2 = \frac{\langle |F_1(\vec{q})|^2 \rangle}{\langle |S_1(\vec{q})|^2 \rangle}$

(1). dle metody základu řešení pro speckle
 (2). když metoda základu řešení pro speckle srozumitelná je, množí týž řešení
 (3). dle detailek Klementa
 Použití! Zde je zřejmá informace o fázích vzdáleností mezi zdroji až do 50 m
 když můžete vzdálost určit \Rightarrow pouze \Rightarrow (rozložení zdrojů, zároveň lze použít)

Krause & Thaller (1990) : výpočet nutně vzdálenost, \equiv čas speckle \rightarrow lze vypočít dle $F_0(\vec{q})$

$$\underbrace{\langle F_1(\vec{q}) F_1^*(\vec{q} + \Delta\vec{q}) \rangle}_{\text{fázové funkce}} = F_0(\vec{q}) F_0(\vec{q} + \Delta\vec{q}) \cdot \underbrace{\langle S_1(\vec{q}) S_1^*(\vec{q} + \Delta\vec{q}) \rangle}_{\text{Signal Transfer Function, množí } \Rightarrow \text{vzdálené funkce (rozložení fázového modelu)}}$$

- + phase diversity (fázový model) : majíme 2 kameru

$$|I_i = I_0 * \text{PSF}_i + N_i| \quad i=1,2$$

- pokud je, že PSF₁ a PSF₂ jsou od sebe vzhledem k fázovému posuvu dostatečně rozdílné (tj. když jsou soudruží modelanty)

$$\Delta\phi = \frac{\pi D z}{4 \lambda} \left(\frac{D}{f} \right)^2$$

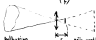
REF

- pokud tomu je vzhledem mezi minimizace $\|I_i - I_0 * \text{PSF}_i\|^2$
- existuje fungce pouze pro impulsového degradaci (dělit ohniv)

Liljebror & Schreiber (1990)

3.2. Difrakčníky

- vzdálost ohniva d : $\frac{d}{f} = \frac{2R_0}{A}$ vzdálost předem detektoru 60 mm bude záviset $\frac{50 \text{ km}}{\text{pixel}}$
 - $\Rightarrow d = 46,5 \text{ cm} \Rightarrow f = 50 \text{ matheri} (!)$ \leftarrow dletočný charakter je detektoru až D^2 (tj. množí $\left(\frac{D}{f}\right)^2$ pro zvětšení středního plánovaného rozsahu)
 - \rightsquigarrow fyzické detektory jsou zdecoché (codetiki)



- 2. možnost : kohärenční řešení
 - + sekundární optika využívající vzdálost ohniva často využívá kódové (kódové strukturální)
 - použ. \Rightarrow množství kódů detektoru ($G = \pm 23,5\%$)

3.2.2 Zrcadla

- + helinostat [DGR] reflektér s různou výškou zrcadla, které odrážejí světlo v jedné rovině
Pozn.: výška je, že část paprsku se rozdělí \Rightarrow konvergentní polohovací pohyby!
- + coaxialist [DGR] 2 zrcadla: 1. střední zrcadlo polohovací coby 2. systém, sekundární nezávislost
problém se zadáváním středního polohovacího systému z vzdálenosti.
- + lunett [CHF] Mimoúčelový monokulární kompaktní, hec makroobjektiv

-- deklarace výrobce

3.2.3 Difrakční ohnisko

příklad v Kitt Peaku [DGR] $D = 60 \text{ cm}$ (diffrakční zrcadlo), vzdálenost f = 36 m
zdejší (zadání) $f = \frac{D}{2} = 30 \text{ cm}$

$$(zadání) N = \frac{f}{D} = 60$$

uveďme následující hodnoty s ohledem na §3: 80 cm, 40 cm fyzické

charakteristické ohniskové veličiny: - sférická vlna - Strehlovo kritérium: centrální intenzita $MTF \geq 80\% MTF_0$

- v tomto případě se shoduje s Rayleighovou $2\lambda/D$ limitou

$$D \leq 512 \lambda N^2 \quad \text{pro Kitt Peak je } 512 \cdot 2 \cdot 10^{-7} \cdot 60^2 = 50 \text{ m} \pm 0,5 \text{ m}$$

\Rightarrow poskytuje se sférické zrcadlo (kompenzace výkonu, zvýšení intenzity)

- koma - Strehlovo kritérium je zde
[DGR] spot diagram

$$W_0 = 49,2 \text{ rad} \cdot \frac{N^2}{D}$$

Lze použít také funkci (3^x)

- astigmatismus

$$W_0 = \sqrt{2,32 \cdot \frac{N^2}{D}}$$

 $(= 0,618)$ tedy je nejmenší možnou kompenzaci výkonu mezi dva(výkonem $\sim 12,2$)

V Livingston et al (1994): zvýšení MTF až vzdálenost „komu“ $MTF(h) \approx MTF_0(3h)$

[DGR] prezentace „druhé“ $0,5 \cdot 0,2 \cdot 0,2 \approx 2\%$

3.2.4 Krátké ohniska

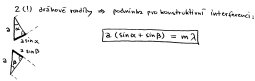
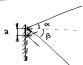
- může být polohovací, nejdříve zadávají svou vzdálenost pro polohovací (polohovací je mimoúčelový ohniskový)
- mimoúčelový ohniskový, tedy vzdálenost středního zrcadla $\odot \Rightarrow$ Coude
[DGR] pro velký objektiv
- Gregory kvůli odrazu nacházejícího se vody z teleskopu, odraz na obráceném daleku (pozadí základ v dálce)
Lze u Gregoryova jež primární ohnisko (přidávat)
- problém se soucasy & refraktorem \leftarrow může současť ohniska zrcadla, dle Strehlova kritéria:
Lze použít a vzdálenost může jít i o méně (kompenzaci od komfy)
- nejfrekventovanější ohniskovou lupy je koma [DGR] spot diagram

$$|\Delta| \leq 2N^2 \lambda \approx 30 \text{ pm!}$$

3.3 Spektrografy



- 2 možná uspořádání + Czerny-Turner → kultimíter i kamery mají "spektální" objektiv
(pracují však minima, ⇒ kamera, vstupní zrcadlo)
- Littrow → kultimíter (2 zrcadlo) je zároveň objektivem kamery
($f_{out} = f_{cam} = \text{"ochranné úhly dle spektrografu"}$)



$$\Delta (\sin \alpha + \sin D) = m \lambda$$

- + Šikmý násobení spektrografova: derivate dle λ $0 + \alpha \cos \beta \frac{dB}{d\lambda} = m \Rightarrow \frac{dB}{d\lambda} = \frac{m}{\alpha \cos \beta}$
- + Lineární násobení: stříd využívají f_{cam} $\frac{dx}{d\lambda} = f_{cam} \frac{dB}{d\lambda}$
(f_s)

↳ můžeme dle násobení $\alpha = \beta \hat{=} \alpha$ nebo $f_{cam} = \frac{dx}{d\lambda} \frac{\alpha \cos \alpha}{m}$

↳ typicky je rozlišení 632 nm $\mu\text{m}/\text{mm}$, 5. řád, $\alpha = 60^\circ$, průměrné rozlišení $\frac{dx}{d\lambda} = \frac{4 \text{ nm}}{\text{mm}}$
($\approx 1,6 \text{ pm}$) $\frac{m}{m}$ (detektor $\approx 20 \text{ nm}$ šířky, číra 5 nm)

$$f_{cam} = \frac{4 \cdot 10^3}{5 \cdot 10^{-6}} \cdot \frac{1,6 \cdot 10^{-6} \cdot 0,5}{5} = 64 \text{ m} \quad \checkmark$$

- Echelle spektrografy → ve vysokých frekvencích ($m \approx 50$) → velké rozlišení (velké násobení zároveň velkou plochu)
- mřížky musí být horizontalní (OBR) aby všechno rámečky
- přenášejí se spektra mnohem rychleji než vlnovou délku (z důvodu mnohem menšího rozložení)

(Lupkový filtr je kommagraf, tj. snímka vlnové délky & neutrinové délky) ← rovněž důležité

Lyotův filtr

[DR]



+ nejdříve vše 3 elementy:

- depolárisér sítě s měnící se amplitudou A

- lineární polarizační filtr (polarizátor)

- 2. kohoutek slouží k amplitudové $\frac{A}{\sqrt{2}}$ (kolektor) ← ⑦ jakými amplitudami má na výstupu základních polomodul?

$$\begin{aligned} \text{2. kohoutek} & \left. \begin{aligned} \frac{S_0}{R_0} &= \text{fázový náplň} \\ \frac{C}{R_0} &= \text{amplituda } \frac{A}{\sqrt{2}} \end{aligned} \right\} \end{aligned}$$

Lze zjistit $I = I_0 - I_{\perp 0} \dots$ důležitost modulace= 2. polarizační propalí slouží k amplitudové $\frac{A}{2}$

$$= \text{intensitativní základní slouží: } \frac{A}{2} \cos(\varphi + \delta) + \frac{A}{2} \cos \varphi = A \cos \left[\frac{\varphi}{2} \cos \left(\varphi + \frac{\delta}{2} \right) \right] \quad \begin{array}{l} M = \frac{1}{2} \\ \varphi = \frac{\pi}{2} \end{array}$$

+ n elementů zdejšího $\alpha_n = 2^{n-1} \pi$:

fázový je amplitudový slouží
výstupní slouží k amplitudě $\sim \lambda$!
elementu

$$I = R^2 \cos^2 \frac{\delta}{2} \cos^2 2 \frac{\pi}{2} \cos^2 4 \frac{\pi}{2} \dots \cos^2 2^{n-1} \frac{\pi}{2}$$

$$\text{intensita} \quad I = A^2 \cos^2 \frac{\delta}{2} \quad \text{má maximu pro } \delta = 2k\pi \quad \text{minima} \quad (\delta = \pi)$$

[DR] možné rovniny $\delta = 2k\pi$ je když slouží 0

jakož dletožná délka výboje (zkušeností s filtry)

Lze krytely využívat (→ 0,01 matic pro matici) → množství

Spectroheliograf

[DR]

→ spectroheliograf s výklopnou zrcadlem → polohujete se s ohledem \odot se zrcadlem s \oplus fotografickou deskou
→ monochromatičky obraz \odot Leighton zdroj (1966): objev řady svrchních atmosférických vrstev dle oblastí (→ vlnové délky)
na intenzitu! → BOPLER GRAM= oblasti, kde záření MHD instabilitní → → v záření poli vznikají když záření je posunuto
v záření se využívá polarizační sfotování! (Skutečnost)

Kometograf

[DR]

Lyot (1912)

kometas 45° a 90° k slunci slouží (→ když je slunce v rozdílu od komety) → kterému poskytuje slunce?

= oblasti kde jsou komety v horizontu (horizont atmosféry)

= speciální k záření vysokého zářivkového zdroje → posl. o 2. slunci vzdálenost atmosféry

Jde fotografování → když je slunce vzdálen

Neutrino detektor **BRR**

- využívá se interakce: $\nu_x + {}^{37}\text{Cl} \rightarrow {}^{37}\text{Ar} + e^-$

Balení & doba: C_2Cl_4 , 100 t

Grafik: $\text{GeCl}/\text{NaCl}, 100\text{t} \rightarrow \nu_x + {}^{75}\text{Ge} \rightarrow {}^{75}\text{Ge} + e^-$

Superluminoznost: 3 fázový reagyl: $\nu_x + e^- \rightarrow e^- + \nu_x$
(vložit H_2O)
Sobek

Sulfur: $\text{D}_2\text{O}, 100\text{t} \rightarrow \nu_x + d \rightarrow p + p + e^-$
 $\nu_x + d \rightarrow p + n + \nu_x$

?) Detektor BOREK? můž. threshold (250 keV) \Rightarrow neutrino 180 keV + $\Phi_{\text{B}}/\Phi_{\text{E}}$ korelace

BRR: huk neutrín (E_ν): 242, sln. 58

pom. o ν , pop. reakce*: $p(p\bar{e}^-, \nu)d$
(3 čestice)

L_d

- detektor je ekspozitivní
 $\approx 100\text{dai}^2$ (cm $^{-2}$ s $^{-1}$ Hz $^{-1}$)
- produkty je relativistické
v různé procentu He
(resp. Ne)
- v neutrino detektoru
se monitoruje napětí

Detektorské zřízení, pokud $\Delta E_{\text{det}} > \frac{\Phi_{\text{E}}}{\Phi_{\text{B}}} \cdot \Phi_{\text{B}}$
zřízení v kuličce s vzdal. d pak $\Delta E_{\text{det}} = \frac{C}{d^2}$
 \rightsquigarrow TRAJEKTORIE!

$(E_\nu \geq 5\text{ MeV} \Rightarrow \text{prone } {}^8\text{B} \text{ neutrino})$
 \Rightarrow řídká ppk!

} využívají mít poměr told $\frac{\Phi(\nu_e)}{\Phi(\nu_\mu)} < 1$

\rightsquigarrow OSCILACE ν

\rightsquigarrow energie odstřelu \approx konstanta

(rozdíl v využívání He_3 \rightarrow neustále se vyměňují
slu. pro produkci ν mů. významn., nel. ved. množ. Cl upor.)

Celkové reakce je $p(p, e^+\nu)d$, ale zde je E_ν malá)

L_d této použitelné

5. FOTOSFÉRA

Zdroj: většinou teplotního profilu je ohniváková atmosféra
hydrogen, helium, metanové atmosféry
zeměpisné vlnovky, "metán" gama, osadka

[DBR] Fotosféra: oslnivý obraz, skvrny, faktura při okraju, ohniváková atmosféra, granule

[DBR] UV 140nm (východ fotosféry / chromosféra): silná strukturna, faktura +
↳ maximální teploty

5.1.1 Ohniváková atmosféra

- podél T s výškou \Rightarrow určení $T(z)$!

- místní významné početné důležitosti (ohnivá atmosféra i seříng)

[DBR] vzdálost na z : pro vzdálost z můžeme zhmotnit, minimální buď pro z odpovídající T_{min} , vzdálost minimální je totéž také můžeme gradientem vyplňovat! (tj.: totéž jako s kolografii jen? tam se fórmu soustředují v minima gradientu)

- podél na výšku: velmi prudky (gradient je stejný, difuzní) až vzdálení půl zářivých d. Místem
400 km $\approx 0,1''$

jednoduchý model

$$\frac{dT}{dz} = \frac{1}{\rho c_p} \left(\frac{\partial P}{\partial T} + \frac{\partial P}{\partial z} \right) = 0 \quad \text{je pravd. tato platí pro } T = \text{konst.}$$

$$\frac{dp}{dz} = -\rho g \quad \text{a} \quad p = \frac{k}{\mu m} RT \quad \Rightarrow \quad \frac{dp}{dz} = -\frac{\mu m g}{RT} \rho$$

$$\rho = \rho_0 \exp \left(-\frac{\mu m g}{RT} z \right)$$

$$6.6 \cdot 10^{-6} \text{ km}^{-1} \text{ pro } T = 5000 \text{ K}$$

$$\approx 450 \text{ km}^2 \quad (\text{podél m } \frac{1}{2})$$

5.1.2 Granule

[DBR]

- jsou granule poligonalní, údaje tvaru: pravidelné mnohoúhelníky, délka 1000 km, kontrast 10 až 20% (bez seříng)

- „kontrastní“ spektrum \Rightarrow granule doplňují potenciál do modré (ohniváková) }

- výskytovost ~ 2 km/s minimální + telegrafní vlnovodním

Blízké doba = 5 min.

Pozor na: Sírová
osadka! Ty je
také odhnut

[DBR]

[TAB] 5-1 vlastnosti granule, mezigranule, řecky supergranule

[DBR] 5-2 doplňují faktury \Rightarrow SUPERGRANULE, ≈ 10000 km velké, horizontální $v \approx 0.5 \frac{\text{km}}{\text{s}}$



↳ výdatné vlny
mezigranule!

Kontrastní s charakteristickou
vlnou (horizontální příklopy)

$$\frac{\partial p}{\partial t} + g \cdot \frac{\partial u}{\partial z} = 0$$

→ zde jsou závazky

Pozor na: vlny

5.2 Model fotofáz

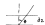
- předpoklady :
 - případně, homogenní (bez granul)
 - hydrostatická rovnice
 - zářivé rovnice (bez korekce, vln.)

- model :
 - odhad/výpočet $T(z)$
 - výpočet $p(z)$ z hydrost. rovnice
 - pro dané chem. stan. vlastnosti opačné μ (p, T)
 - řešení rov. pohybu záření + LTE approximace \Rightarrow tisk $F = \sigma T_{\text{eff}}^4$

\hookrightarrow souhled s pozorováními : F , Vln. absorpc. profilů až "spektru"

5.2.2 Inverzní obrazovka Hauseho $\Rightarrow T(z)$ 

Fun. na plánovou záření :



cosθ = 0

$$\mu \frac{dI_\lambda}{dz} = \varepsilon_\lambda - K_\lambda I_\lambda$$

Změna $\Delta I_\lambda = -K_\lambda dz$

$$\mu \frac{dI_\lambda}{dz} = I_\lambda - S_\lambda$$

$$E/E_0$$

$$\text{pro LTE: } dI_\lambda = 0, \quad I_\lambda \equiv B_\lambda = S_\lambda \\ (\text{Kirchhoffův zákon})$$

pro vlnu :

$$\frac{dI_\lambda}{dz} = \frac{S_\lambda}{E_0}$$

rozdíl v intervalu zaplatit jde :

$$I_\lambda(z_1, \omega) = I_\lambda(z_2, \omega) \cdot \exp\left(-\frac{(z_1-z_2)}{\mu}\right) + \\ + \frac{1}{\mu} \int_{z_1}^{z_2} S_\lambda \exp\left(-\frac{(z-z_1)}{\mu}\right) dE$$

(tj. protože když změníme vlnu přesněji vypočítat jde $\frac{dI_\lambda}{dz} = -K_\lambda I_\lambda \Rightarrow I'_\lambda/I_\lambda = \exp(-K_\lambda z)$)

pro záření na vlnu :

$$x: I_\lambda(0, \omega) = \frac{1}{\mu} \int_{z_1}^{z_2} S_\lambda(z) \exp\left(-\frac{z}{\mu}\right) dz$$

5.2.3 $I_\lambda = \text{f}(z, \omega)$ (profil záření) naše PSS

zadání

zdroje opačnosti (H^{-1}) RRE 4.5 \Rightarrow konkurenční CBLT, kap. 2.3.3
chem. stanice \Rightarrow dleší výpočet! TAB 4.2 se řídí
zdrojem

generaci sp. čar TAB 4.9

rozložení spektrálního záření (I_λ , jin. vln. záření) dle. 4.9

Výpočet 4.4.3 = posunutí a vrácení kádeře z kalibracemiže E

! výpočet SAM! \Rightarrow počít. výpočet, co se dělá v reálném fyzickém

! tisku (TAB 4.2) \checkmark \Rightarrow počít. výpočet (TAB 4.2)

zdroj 2.3.3 = vlna zdroje \Rightarrow výpočet

Když SAM: $I_\lambda = \text{f}(z, \omega)$ v tabulce: $\rho, \tau, \mu, \beta, \alpha, J_\lambda, \text{mod}$

! MUSÍ být vlastnosti

homogení zdroj vln. zdroje \Rightarrow vln. zdroje \Rightarrow $\mu = \mu_0$, $\rho = \rho_0$

! MUSÍ být vln. zdroje \Rightarrow $\tau = \tau_0$, $\beta = \beta_0$, $\alpha = \alpha_0$

! MUSÍ být vln. zdroje \Rightarrow $J_\lambda = J_0$

! MUSÍ být vln. zdroje \Rightarrow $\text{mod} = \text{mod}_0$

+ metoda syntetického spektra

- koncentrace N_b ; používané parametry*, sečku s $T(\tau)$, parametry mikrofluktuace
- ~ využití k výpočtu počtu (therm. hustoty) spektrálních čar

čar je mnoho profilů vložených do spektra!

profil čar je uveden podobněm 2. jiný:

je kontinuum je určeno vlnovou (velik.) číslou n ;
mikrofluktuace je relativní do konstanty η_0/η_R

$$4. - \text{Dopplerov jez kontinuum Maxwellovským modelem využití: } \Phi_D(\Delta v) = \frac{1}{\sqrt{\pi} \Delta v_b} \exp \left[-\left(\frac{\Delta v}{\Delta v_b} \right)^2 \right]$$

kde $\Delta v_b = \sqrt{\frac{2 R_b}{\mu}} \frac{V_c}{c} + \xi_t$ (mikrofluktuace)

$$5. - \text{Mikrofluktuace } \Phi_C(\Delta v) = \frac{n}{(2\pi \Delta v_b^2 + \frac{\mu^2}{4})} \quad \leftarrow \text{tj. Gaussovačí profil} \rightarrow$$

kde n je koncentrace atomů
(~ mikrofluktuace)

4. dominoje v jídelní čáře, 2. v křídlech

Kontinuum těká výrazně čistě:

$$\Phi(\nu) = \frac{n}{\pi \Delta v_b} \int_{-\infty}^{\infty} \frac{\exp \left[-\frac{(\nu - \nu')^2}{\Delta v_b^2} \right]}{\left[2\pi (\nu' - \nu_0) \right]^2 + \frac{\mu^2}{4}} d\nu' \quad \leftarrow \text{tj. Wrightův profil}$$

OPERA 4.9 m Vltava

OPERA Aufbau et al. (2005)

+

stavová ionizace, přechody, ... → viz. K starostlivý

- zdroje článků:
- u kterého vlastní profily čar, kontinuum? heterogenita?
 - například zářivá čížka oscilace f (prakt. přehled)
 - non-LTE modely

+ problem s Helium

číslo He ($D_3, 587,6 \text{ nm}$) objevuje 1848, Norman Lockyer; izotropie Ramseysova (1895) z nízkoionizovaného kontinuum za syntetického spektra, ALE studiem článků! ($0.2 + \log \Lambda = 12 + \log \frac{N_e}{N_H}$)

prostina He všich v UV, IR čárkách první atmosféry je kritická → non-LTE!

veličinu γ z heterogenitou! → frekvence oscilací $\sim c_{\text{sound}}$ → adiabatický exponent $\sqrt{\Gamma}$
 \sim poloh specifických tepel $C_p/C_v \sim$ měření se kontinuum He
 $(E \propto \text{zvukového rotačního momentu} \Rightarrow T \propto \omega \propto C_p / \partial T \propto \sqrt{\Gamma})$

$$\gamma = 0.248 \pm 0.002$$

tj. stejný výsledek jako u SSM zahrnujícího diffuzi He k centru! (bez diffuze by mělo být $\gamma = 0.25$)

⑦

genetika způsobuje, že hřebí proty sedimentaci deku, když nahoru $T \propto 10^4$ stří \odot , ale pustlo své významy

STANDARDNÍ MODEL ☽

Jak se konstruuje? viz rám

REF Stockmann et al. (1991) [OBR] H-R diagram

+ atmosféra, konzervace ohniv. chování

+ stálí ☽ = vnitřek ☽

P... pro MS, žádoucí výkres, E počítání z konstrukce

A... po zahrnutí H je konstrukce již rozsuditelné ($T = 42\text{-}46^{\circ}\text{K}$, $\rho = 80\text{ g/cm}^3$) = ZAMSB... Jakém ☽ ρ_{\odot} Hinte je ρ_{\odot} \Rightarrow podle pressure scale height \Rightarrow různé ρ_{\odot} , $T_{\odot} \Rightarrow$ různé ϵ , L_{\odot} C... nejvýšší T_{\odot} ($2 \times 3\text{ Gyr}$)po dobu 7 Gyr \int D... spotřevání H v jádru ($\approx 4,8\text{ Gyr}$), ale ještě zbylé v oblastiE... konc MS ($L = 2,2 L_{\odot}$, věkem 11 Gyr) \leftarrow při $\rho_{\odot} = 1,1 L_{\odot}$ se uprostřed HBD (vlasy staršího jadra) konstrukce jde o vnitřní $E_{\odot} \Rightarrow$ expozice části $\rho_{\odot} = 1,1 L_{\odot}$ optimální využití osadné (přesnost c. j.)

F... základní RGB + konci H ve stupni je konci životy (ale může napaden vlna oblasti)

G... dosud pouze L_{\odot} konci životního cyklu zpravidla konstrukceH... nejvýšší luminosita $L_{\odot}^1 = 2349 L_{\odot}$, konc RGBT_e $\approx 90^{\circ}\text{K}$ zahrnutí He, ALE minus stálí (!) konci životu E neutrino při určitých konstrukcích $\approx (M_{\odot} = 0,9 M_{\odot})$

>>>

TAB 3 časy trvání fází

min. testy SSM: (rozšíření na Be, B₀)- neutrinové detektivity \rightarrow tak ☽, napříme C-detektor (Ne), prstenní čerpadlo (Ne) L_{\odot} třídit na detektorech SSM, někdy jen na L_{\odot} ?

(když ve ☽ byl CNO cyklus místo p-p reakce, neznamenalo by toho žádoucí popu neutrinu)

- Li & Be: Li je v atmosfére míslo (v pravdělosti z nebezpečí) $T_{\text{lum}} = 2,4 \cdot 10^4 \text{ K}$
Be, B je v oblasti $3,5 \text{ K}$ \rightarrow pravděpodobně bylo splněno na MS, díky konvergenci zón (přediktované) konci své detektovací hmotnosti!

[OBR]

- shoda s jinými X, zákonem

- klimatické modely ☽ - sedimenty staré 3,5 Gyr, ☽ může zahrnovat kavu! (problém s alkalinou) průnikového hmotnosti $(\text{CO}_2, \text{H}_2\text{O})$

$$U = -\frac{GM}{r} \left[1 - \beta_1 \frac{P_1(\sin \vartheta)}{r^2} \right] \quad \beta_1 \approx 10^4 \quad \begin{cases} \text{Lunar damping} \\ \text{duální ☽ jádro} \\ \text{prezna Merkur} \\ \text{haloizometrie (splitting of p-modes)} \end{cases}$$

pole vnitř. (H) : normálně by zářební $H\alpha$ způsobila expozici \propto sít zářebního pole, faktus je, ALE zde se využívá E spolu s jiným vztahem E (zatímco degenerace) \Rightarrow řádná expozice, T dle rychlosti, E překonává rychlosť (takže zde je zářební pole nezávislá na E , tedy degenerace)

avšem můžete vidět na grafu \rightarrow **halovery záblesky**, výkonnost $\approx 10^{10} L_\odot$!

\rightsquigarrow zde používají vlastnost expozice jádra, rozdílnosti H stupňů \Rightarrow polem E , L trvání 10^6 yr. Je pak vzniklo

J ... ZAMS (Zero-age horizontal branch), zářební pole vlastnosti halovery $H\alpha$ v jádru, $144 L_\odot$, $0,16$ Gyr

K ... konec HB, abun. $H\alpha$ v jádru malá, kontrastní jádro \Rightarrow kontrastní H stupňy \Rightarrow zvýšené L

L ... $Y_c = 0$, zářební $H\alpha$ ve stupni $4 \leftarrow 8 \times$ než 2 stupňy!

(E-AGB) \rightarrow rozdílnosti H stupňů \rightarrow dodatečný polem L

ALE přiblžování $H\alpha$ stupňů k H stupni \rightarrow ohřev H stupňů \rightarrow výstup L (tj. fáz. E-AGB)
trvání $0,02$ Gyr

jádro C,O (ještě zdravé) volatuje, normálně by to zůstalo okraj, ALE ztráty E neutrino
 \rightarrow zářební, polem T_c \rightarrow jádro se opět stane degeneracemi \rightarrow
 \rightarrow smrtí (zvanou) elektrických stupňů

P ... TP-AGB (M) ... další nestabilita: tentokrát sloučka $H\alpha$ \rightarrow první lokální expozice, zářební polem:

\Rightarrow Tloušťka vrstvy \Rightarrow s výše tloušťkou, zářební zářď je stupňu tloušťky;
opakování pro konstantní stupňy $L_\odot \approx 10^6 L_\odot$, ale na povrchu můžeme $10^8 L_\odot$

zde můžeme $H\alpha$ \rightarrow projekce jinak: expozice $H\alpha$ stupňů \Rightarrow zářební $H\alpha$ stupňů tloušťky
 \rightarrow polem Lsurf; pak se k povrchu dostane E vlivnější při zářební \rightarrow
 \rightarrow výstup Lsurf (400 yr); poznamka [potlačení záblesku \rightarrow polem L, W_{p}]
Znovu zářební $H\alpha$ stupňů \rightarrow výstup L

+ celkově (P) $H\alpha$ zářebny, délka 400 hrac. let

(M)... ztráta hmoty, výstup Teff $\approx 10^{10}$ K, $L = 3000 L_\odot$, $\sim 40^5$ yr, planetární vlnovnice

zde by mohly přijít testy